

稿件格式要求与写作示例（2017 新版）

索 引

1 总述	2
2 标题	2
3 作者及单位.....	2
3.1 作者	2
3.2 单位	2
4 首页脚注.....	3
5 摘要及关键词.....	3
6 正文	4
6.1 层次标题.....	4
6.2 插图	5
6.3 表格	10
6.4 量、单位、数字和公式.....	11
6.5 结论	12
7 参考文献.....	13
7.1 格式要求.....	13
7.2 文后参考文献著录规则与示例.....	14

1 总述

字数：10 000 字以下为宜。

版面：Microsoft Word 版本，通栏。

结构：标题、作者及单位、摘要、正文、致谢（必要时）、参考文献。

2 标题

中文标题以不超过 20 个字为宜，黑体、二号、顶格；英文标题 Times New Roman 体，五号、加粗，首字母大写，其余全部小写（专有名词除外）。

示例 1

焉耆盆地小麦地土壤重金属污染及生态风险

The soil heavy metal pollution and ecological risk assessment of wheat fields in Yanqi Basin

3 作者及单位

一般不超过 7 人，仅限直接参与者或具体指导者，并能就论文内容进行答辩者，标明作者工作单位全称、所在省市及邮政编码。

3.1 作者

中文楷体，四号，顶格；英文 Times New Roman 体，小五号，顶格，姓全部大写，名第一个字母大写，两个名之间用“-”连接。多个作者用逗号隔开，不同单位的作者用上标数字区分，通信作者用*标出。

3.2 单位

中文宋体、英文 Times New Roman 体，小五号，顶格。置于括号内，多个单位用分号隔开。省会城市省略省名。英文单位需在邮编后加注国籍。

示例 2

黄勃铭^{1,2}，吕小慧^{2,3}，王秋丽⁴，朱小山^{2*}，周进²，蔡中华²

(1.清华大学环境学院，北京 100000；2.清华大学深圳研究生院，广东 深圳 518000；3.哈尔滨工业大学深圳研究生院，广东 深圳 518000；4.辽宁省环境监测实验中心，沈阳 110161)

HUANG Bo-ming^{1,2}, LÜ Xiao-hui^{2,3}, WANG Qiu-li⁴, ZHU Xiao-shan^{2*}, ZHOU Jin², CAI Zhong-hua²

(1.School of Environment, Tsinghua University, Beijing 100000, China; 2.Graduate School at Shenzhen, Tsinghua University, Shenzhen 518000, China; 3.Shenzhen Graduate School, Harbin Institute of Technology, Shenzhen 518000, China; 4. Liaoning Environmental Monitoring & Experiment Center, Shenyang 110161, China)

4 首页脚注

包括收稿日期、作者简介、通信作者和基金项目。宋体，小五号。

第一作者简介：姓名（出生年—），性别，籍贯，职称，主要研究方向，E-mail。

通信作者：姓名，E-mail。

基金项目同时用中文和英文书写（基金需使用标准写法，参见官网首页文件：各类基金项目中英文写法），注明基金名称（编号），不同项目间以分号隔开，勿出现“资助”二字。

示例 3

收稿日期: 2017-xx-xx

作者简介: 满 滢(1991—), 女, 湖南麻阳人, 硕士研究生, 从事人工湿地环境微生物研究。E-mail: ying_055@163.com

*通信作者: 杨 扬 E-mail: yangyang@scies.org

基金项目: 国家科技支撑计划课题(2012BAJ21B07); 广东省应用型科技研发专项资金项目(2015B020235008)

Project supported: The National Key Technology Research and Development Program of the Ministry of Science and Technology of China(2012BAJ21B07); Special-funds Project for Applied Science and Technology of Guangdong Province(2015B020235008)

5 摘要及关键词

摘要包括目的、方法、结果（包括主要数据）、结论四部分（四要素缺一不可），请明晰语句，其他无关语句（如背景描述、研究意义等）尽量不出现。中文宋体、英文 Times New Roman 体，小五号。

关键词 3~8 个，均为小写（专有名词除外），词之间用分号隔开，结尾无标点。

示例 4

摘 要: 为探讨秸秆还田对农田土壤甲螨群落结构的影响, 于 2014 年 6 月和 10 月、2015 年 6 月和 10 月采用改良的 Tullgren 漏斗法, 采集东北黑土区秸秆还田 4 年 (SR4)、秸秆还田 10 年 (SR10) 和无秸秆还田 (CK) 样地土壤, 对土壤甲螨群落结构进行研究。结果表明: 4 个采样时期共捕获土壤螨类 11 366 只, 其中甲螨 8373 只, 占 73.67%。SR4、SR10 和 CK 中, 甲螨的分布密度分别为 13 774 只·m⁻²、11 946 只·m⁻² 和 5871 只·m⁻², 分别隶属于 15 属、12 属和 7 属; 秸秆还田 ($F=81.954, P<0.001$)、季节 ($F=56.649, P<0.001$)、秸秆还田和季节交互作用 ($F=11.289, P<0.001$) 均对土壤甲螨个体数量有显著性影响, 而对甲螨类群数影响不显著; 秸秆还田能够显著影响甲螨群落的丰富度指数、均匀度指数、多样性指数、优势度指数和密度-类群指数; 季节动态上, 表现出秋季甲螨分布密度普遍高于夏季。聚类分析也表明秸秆还田黑土农田系统中甲螨群落组成 (SR4 与 SR10) 与传统耕作 (CK) 显著不同, 而秸秆还田 4 年 (SR4) 和 10 年 (SR10) 处理的差异不明显。研究表明, 秸秆还田有利于提高土壤甲螨群落结构多样性和密度, 对土壤甲螨具有重要的保育作用, 有利于农田土壤生态环境的保护和土壤肥力提升。

关键词: 秸秆还田; 土壤螨类; 群落结构; 聚类分析

Abstract: In order to better understand the influence of straw recycling on community structure of soil Oribatida in black soil, an experiment was conducted in black soil farmland in Northeast China. Soil samples were collected from 0~20 cm soil layer under straw recycling for 4 years(SR4), 10 years (SR10) and conventional tillage (CK) in June and October of 2014 and 2015 and a modified Tullgren method was used to extract soil mites from the soil samples. A total of 11 366 soil mites were captured on four sampling dates, of which 8373 (74%) were Oribatida. The density of soil Oribatida was SR4: 13 774 per square meter, 15 families SR10: 11 946 per square meter, 12 families and CK: 5871 per square meter, 7 families. Straw recycling, season, and the interaction between straw recycling and season all had significant ($P<0.001$) effects on individual density of soil Oribatida, but not on the number of families of Oribatida. Straw recycling also significantly affected the richness index, the evenness index, the diversity index, the dominance index and the density-groups index of Oribatida. The density of the dominant species of soil Oribatida in autumn were generally higher than those in summer. Cluster analysis also showed that the Oribatida communities in SR4 and SR10 were significantly different from CK, but not from each other. Our results indicated that straw recycling is conducive to maintaining the diversity and density of soil Oribatida communities, and to the protection of ecological environment and fertility of the soils.

Key words: straw recycling; soil mites; community structure; cluster analysis

6 正文

结构：引言（该标题省略）、1 材料与方法、2 结果与分析、3 讨论、4 结论，
或引言（该标题省略）、1 材料与方法、2 结果与讨论、3 结论。
中文宋体、英文 Times New Roman 体，五号。

6.1 层次标题

1 一级标题，黑体，小四号，顶格，序号和文字之间空半格。
1.1 二级标题，黑体，五号，顶格，序号和文字之间空半格。
1.1.1 三级标题，宋体，五号，顶格，序号和文字之间空半格。

示例 5

1 材料与方法

1.1 菌种

固定化微生物反应器.....

1.2 固定化载体材料

经过前期重复批次实验.....

1.3 实验装置

1.3.1 固定化微生物反应器

反应器高 1.6 m、长 2.8 m、宽 1.5 m.....

1.3.2 人工湿地

采用垂直潜流与水平潜流湿地.....

6.2 插图

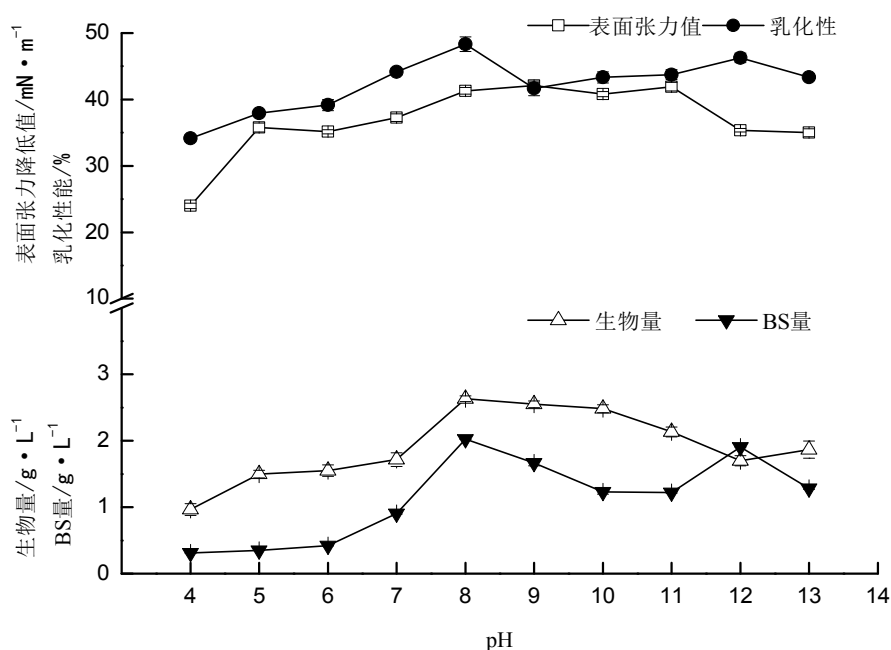
图题中文黑体、英文 Times New Roman 体，小五号，居中位于插图下方。图注中文宋体、英文 Times New Roman 体，小五号，居中置于插图下方、图题上方。

使用 Microsoft Excel、Origin、Microsoft Visio 等软件绘制的各种线型图（包括折线图、柱状图、模型拟合图、流程图等），应为矢量图形式（直接从绘图软件中复制粘贴出来即为矢量图，不要使用截图），且绘图区、图外以及图例均不应有框线，绘图区不应有底纹或网格线。

(1) 折线图（散点图）

图例应采用易于区分的封闭标识，如“■ □ ◆ ◇ ▲ △ ▼ ▽ ● ○等，避免使用线条型标记点，如+ × * ※ *等，若处理组较多，也可使用彩色图例和线条加以区分；同一处理在不同图中的标记点格式应尽量统一；线条应采用单实线，避免使用点划线和复合线型，粗细均匀、光滑、美观；横、纵坐标轴应有中文名称及单位；各轴刻度线向轴内标出，并与图中数据点相对应。

示例 6



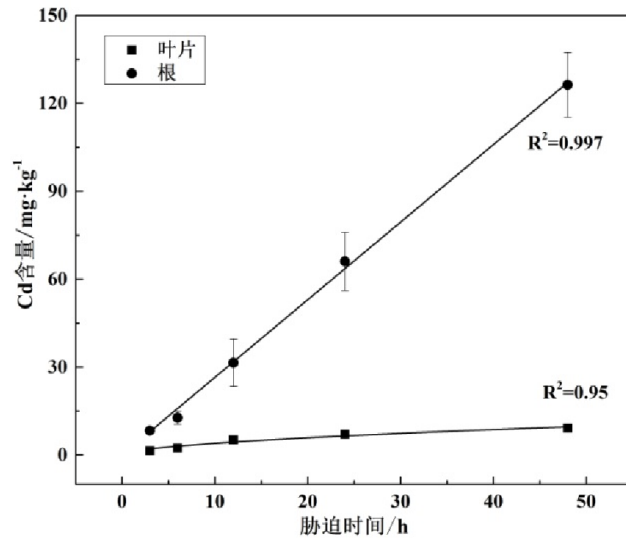
数值是平均值与三次重复的标准误

Values are given as mean±SD from triplicate determinations

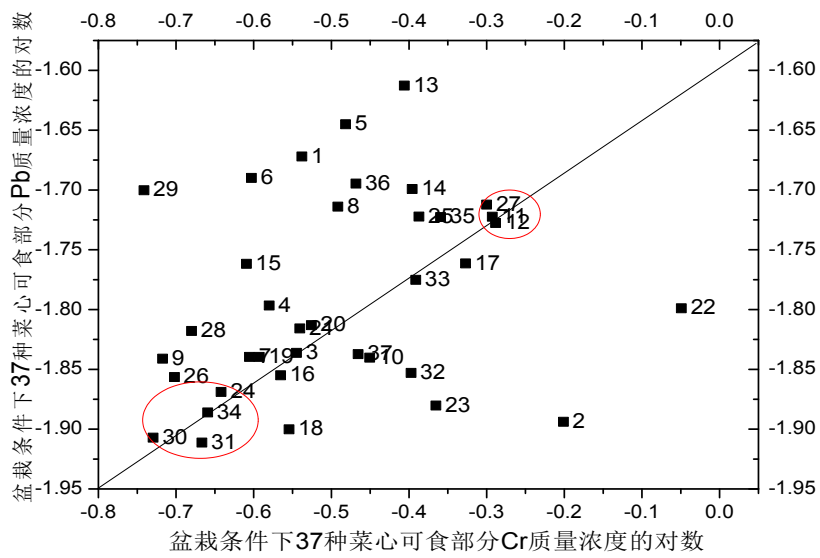
图 1 pH 对 147 细菌生长以及生物表面活性剂产量的影响

Figure 2 Effect of pH on growth of and biosurfactant production by strain 147

不规范插图



【不规范原因：①不是矢量图 ②绘图区有框线 ③图例有框线】



【不规范原因：①坐标轴刻度线向外标出 ②绘图区有框线】

(2) 柱状图

图例首选白、灰，处理组较多时，使用色彩或易区分的图案。各系列（柱）需有单实线边框，同一处理组下各系列（柱）之间无间隔、无重叠。横、纵坐标轴应有中文名称及单位；各轴刻度线均向轴内标出。

示例7

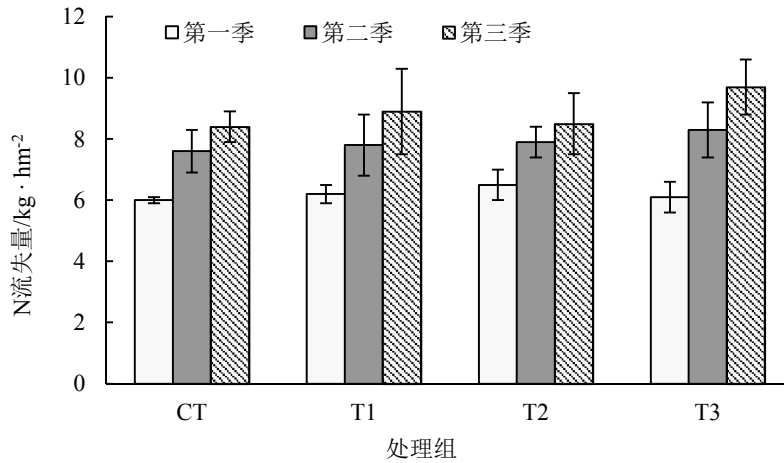
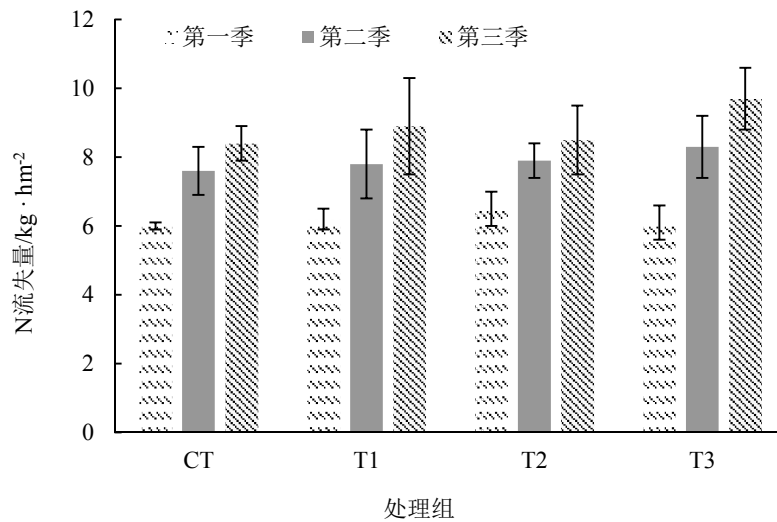


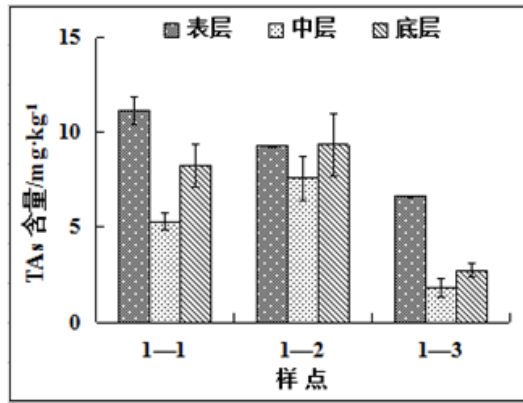
图 2 不同种植季土壤 N 淋失量

Figure 2 Leaching amount of N in different planting seasons

不规范插图



【不规范原因：①各柱缺少边框 ②同一处理下各柱之间有间隔 ③图例非首选】



【不规范原因：①不是矢量图 ②图外有框线 ③图例非首选】

(3) 地形图

线条分明、指示清楚，标出指北针和比例尺，必要时需加准确经纬线和数值。

示例 8

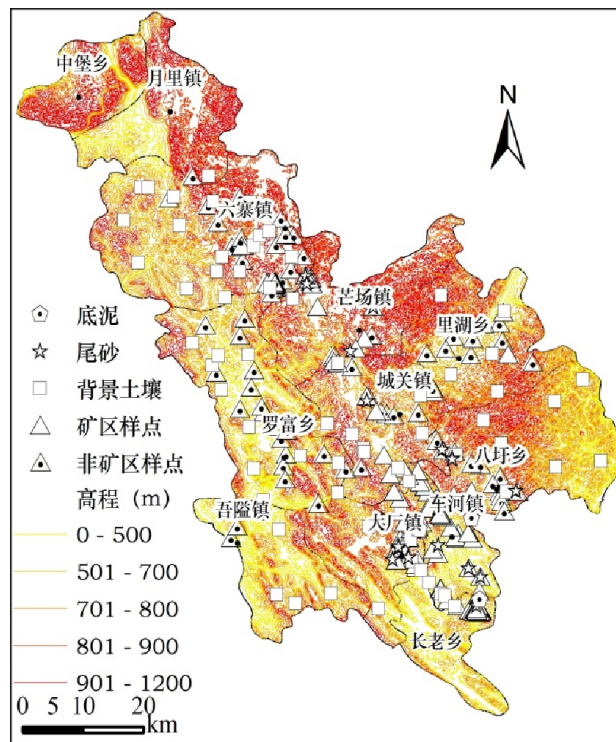


图 3 样点分布图

Figure 3 Soil sampling sites and study areas

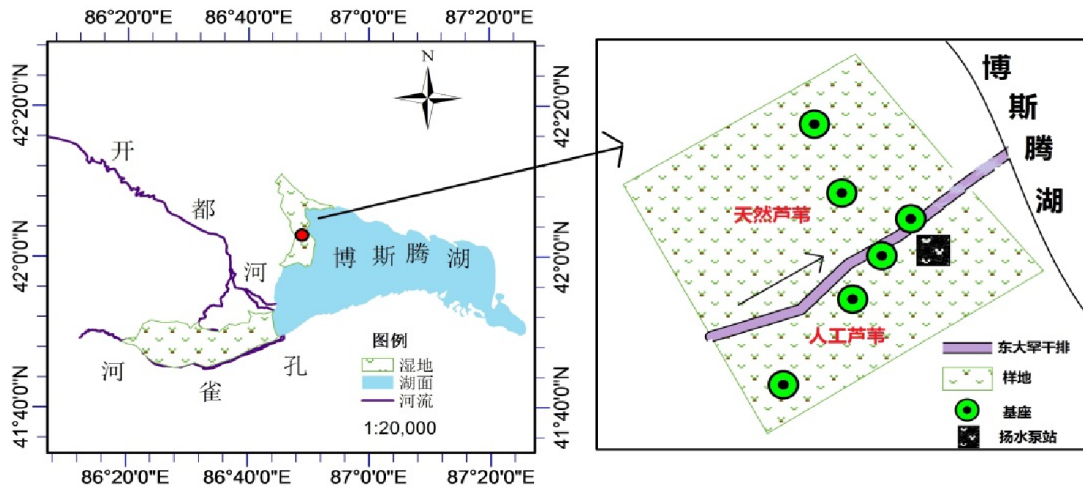
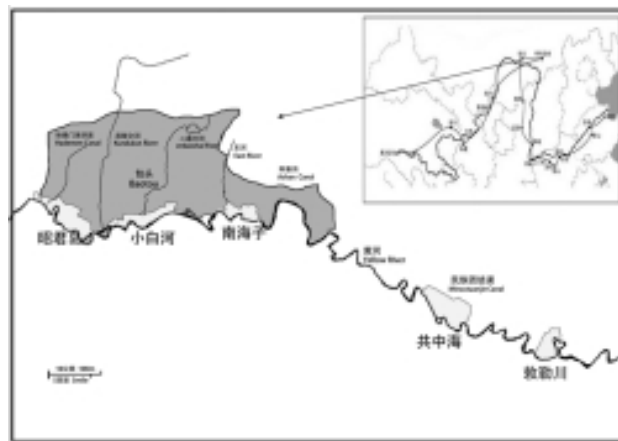


图 4 研究区位置及采样点分布图

Figure 4 Position in the study area and the sampling point distribution

不规范插图



【不规范原因：①线条模糊 ②文字标注不清楚 ③缺少指北针】

(3) 图片（照片、电镜图、示意图等）

应完整、清晰，分辨率 ≥ 300 dpi。如有缩放需标明倍数。

示例 9



图 5 磁性生物炭的分离效果

Figure 5 The separation effect of magnetic biochars

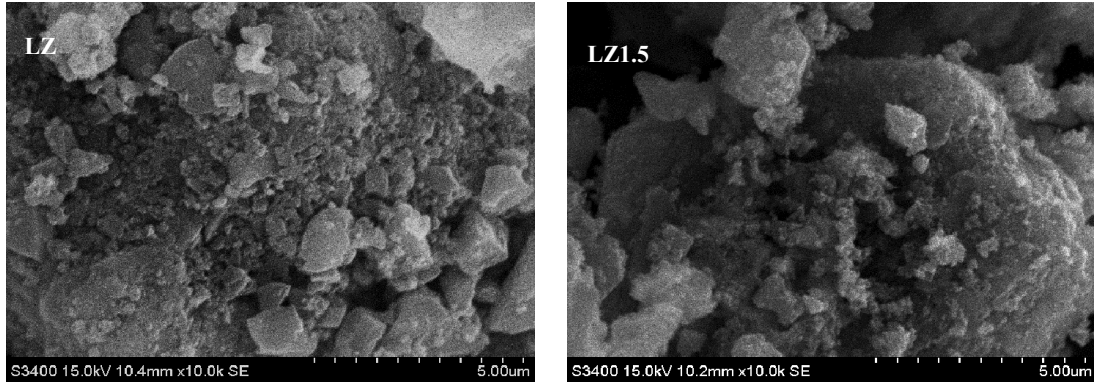


图 6 生物质炭的扫描电镜图(×10 000 倍)

Figure 6 Scanning electron microscopy (SEM) of biochars (×10 000 times)

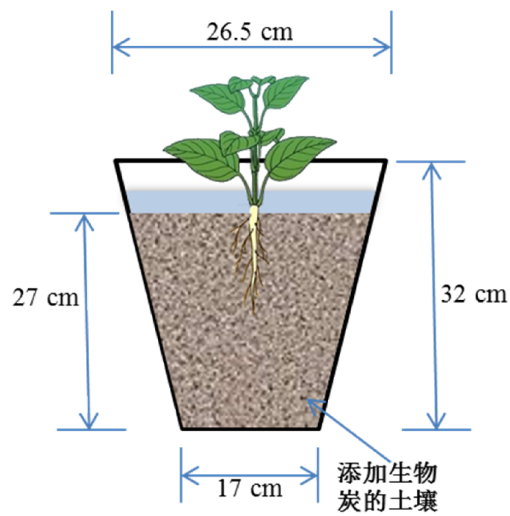


图 7 水芹盆栽示意图

Figure 7 Schematic diagram of *O. javanica* pot culture

6.3 表格

采用三线表形式。表题中文黑体、英文 Times New Roman 体，小五号，居中位于表格上方。表注中文宋体、英文 Times New Roman 体，小五号，置于表格下方。

示例 10

表 1 不同季节果园土壤SON/TSN比值

Table 1 Ratio of soil SON/TSN in fruit plantations during different seasons

季节	龙眼园土壤 SON/TSN 比值/%		枇杷园土壤 SON/TSN 比值/%	
	0~20cm	20~40cm	0~20cm	20~40cm
春	52.3±3.9aA	53.6±4.2aA	50.6±4.7aA	51.2±5.1aA
夏	74.3±7.2bB	87.9±7.8aA	73.2±6.6bB	81.3±7.9aA
秋	69.6±6.2bB	85.2±6.9aA	63.6±4.3bB	72.3±6.4aA
冬	79.2±7.5bB	89.7±8.3aA	67.5±5.4bB	75.9±6.9aA

注：*平均数（n=6）后的大写和小写字母分别表示土壤SON/TSN比值差异达1%和5%显著水平。

Note: Lowercase and capital letters(n=6) indicate significant differences at 5% and 1% level between SON/TSN soils, respectively.

6.4 量、单位、数字和公式

(1) 物理量符号、微生物和植物种或属的拉丁名、生物酶前3个字母等必须用斜体，单位必须用正体表示(pH例外，用正体)，如：吸附量 Q 、超富集植物东南景天(*Sedum alfredii*)、*Taq*DNA 酶等。上标或下标一般用正体，如：最大吸附量 Q_m ，除非上标或下标是变量，如： L_i ($i=1, 2, \dots, n$)。

(2) 单位不能写汉语名称，应统一使用单位符号，复合单位均使用相乘的形式，如： $\text{mg}\cdot\text{kg}^{-1}$ 。

(3) 数值与单位之间空半格，需要注意%不是单位，之前不空格，如： $20\text{ mg}\cdot\text{L}^{-1}$ ，20%。

(4) 表示数值范围时用波浪线“~”连接，单位相同时，前者单位省略，如： $0.1\sim 0.5\text{ mL}$ 。

(5) 系列数值之间用顿号相隔，只保留末尾数值的单位，需要注意，%不是单位，均需保留，如：4个处理的收获质量分别为1、5、10 g和50 g，配制质量分数为1%、5%、10%和50%的溶液。

(6) 复杂的符号公式需使用公式编辑器输入，在公式的下一行左顶格写出公式中各物理量符号的解释和单位。物理量符号的大小写、文体（如希腊字母、罗马字母和英文字符）和上下角标需规范并易于区分。

(7) 文字公式和简单的符号公式不必使用公式编辑器，在正文中另起行输入即可。

示例 11

Ghnaya 等^[74]研究表明，海马齿地上部的 Cd 浓度可达 $350\text{ mg}\cdot\text{kg}^{-1}$ ，干物质产量可达 $17\text{ t}\cdot\text{hm}^{-2}\cdot\text{a}^{-1}$ ，估算可提取 Cd $5950\text{ g}\cdot\text{hm}^{-2}\cdot\text{a}^{-1}$ ，其 Cd 提取量与天蓝遏蓝菜(*Thlaspi caerulescens*)接近 ($4160\sim 8320\text{ g}\cdot\text{hm}^{-2}\cdot\text{a}^{-1}$)。

0.5 、 5 、 10 、 $20\text{ mg}\cdot\text{L}^{-1}$ 的硫酸镉溶液中在吸附达到平衡时刻，四尾栅藻干藻粉的吸附率分别为 66.67%、68.68%、72.93%、67.57%。初始金属浓度为 0.5 、 5 、 10 、 $20\text{ mg}\cdot\text{L}^{-1}$ 时，吸附容量随着初始 pH 值的变化范围分别是 $0.14\sim 0.5$ 、 $0.3\sim 5.64$ 、 $1.08\sim 12.35$ 、 $3.16\sim 22.92\text{ mg}\cdot\text{g}^{-1}$ 。

不规范示例

$35\text{ m}^2\sim 45\text{ m}^2$ ； $15\pm 5\text{ m}^2$ ； $5\sim 9\times 10^7$ ； $35\sim 45\%$ ； 20 、 30 、 40 和 50 mg

【正确写法】

$35\sim 45\text{ m}^2$ ； $(15\pm 5)\text{ m}^2$ ； $5\times 10^7\sim 9\times 10^7$ ； $35\%\sim 45\%$ ； 20 、 30 、 40 mg 和 50 mg

示例 12

对样品在不同时刻的吸附量进行分析，采用下式确定单位藻量吸附的金属量：

$$q_t = \frac{(C_0 - C_t)V}{m}$$

式中： q_t 为 t 时刻的吸附容量， $\text{mg}\cdot\text{g}^{-1}$ ； C_0 为金属离子的初始浓度， $\text{mg}\cdot\text{L}^{-1}$ ； C_t 为 t 时刻溶液中的金属离子浓度， $\text{mg}\cdot\text{L}^{-1}$ ； V 为溶液体积，L； m 为四尾栅藻的质量，g。

并使用伪一阶动力学模型、伪二阶动力学模型和 Elovich 动力学模型进行动力学分析，模型分别如下：

$$\lg(q_e - q_t) = \lg q_e - \frac{K_1}{2.303} t$$

$$\frac{t}{q_t} = \frac{1}{K_2 q_e^2} + \frac{1}{q_e} t$$

$$q_t = \frac{1}{\beta} \ln(\alpha\beta) + \left(\frac{1}{\beta}\right) \ln t$$

式中： q_e 为吸附平衡时吸附的重金属的量， $\text{mg}\cdot\text{g}^{-1}$ ； q_t 为 t 时刻吸附的重金属的量， $\text{mg}\cdot\text{g}^{-1}$ ； K_1 为伪一级反应速率常数， min^{-1} ； K_2 为伪二级反应速率常数， $\text{g}\cdot\text{mg}^{-1}\cdot\text{min}^{-1}$ ； α 为初始吸附速率常数， $\text{g}\cdot\text{mg}^{-1}\cdot\text{min}^{-1}$ ； β 为解吸速率常数， $\text{g}\cdot\text{mg}^{-1}$ 。

示例 13

镉的富集、转运能力按下列公式计算：

富集系数=植株镉含量($\text{mg}\cdot\text{kg}^{-1}$)/土壤镉含量($\text{mg}\cdot\text{kg}^{-1}$)

转运系数=植株地上部镉含量($\text{mg}\cdot\text{kg}^{-1}$)/植株地下部镉含量($\text{mg}\cdot\text{kg}^{-1}$)

土壤螨群落均匀性指数 (J) 和丰富度指数 (D) 分别采用如下公式计算：

$$J=H/\ln S$$

$$D=(S-1)/\ln N$$

式中： H 为 Shannon-Wiener 多样性指数； S 为土壤螨群落所有类群数； N 为全部类群的个体总数。

6.5 结论

结论要简练，具有高度概括性，不要重复结果。建议分条列出。

示例 14

(1) 固定化微生物反应器-人工湿地组合工艺能有效处理工业型村镇混合废水，其中 COD 和 TSS 出水均值达到《城镇污水处理厂污染物排放标准》(GB 18918—2002) 中一级 A 排放标准。

(2) 广谱高效降解菌 *Lysinibacillus* sp. FS1 能有效降解村镇混合废水中的毒害有机污染物，对其中 10 种主要有机污染物的去除率均在 50% 以上。固定化微生物反应器对混合废水

的脱毒减害作用减缓了人工湿地的生态压力，显著提升组合工艺的处理效果。

(3) 高效降解菌固定化微生物反应器-人工湿地组合工艺实现对村镇混合废水的低成本和持续有效处理，是高效有机物降解菌对污水脱毒减害处理成功应用的案例，为微生物资源菌种在污水处理工程中的应用提供参考和借鉴。

不推荐写法

生物质炭与钙镁磷肥具有促进三七生长的作用：生物质炭与钙镁磷肥处理三七主根干重较对照显著提高 48.7%与 50.4%，且生物质炭处理显著提高了三七植株叶片、剪口和茎的生物量，提高幅度分别在 30.3~36.5%、21.6~35.4%和 19.6~35.8%。施用有机肥对三七植株生物量无影响。生物质炭与钙镁磷肥处理的改良效果较好：生物质炭和钙镁磷肥处理三七主根、剪口、茎、叶的 Cd 含量均显著降低，降低幅度分别在 25.4~43.6%、40.2~40.9%、34.3~51.2%和 33.0~33.5%。相关分析结果表明三七剪口、茎、叶部位 Cd 含量与土壤有效 Cd 均呈显著正相关关系，相关系数分别为 0.960、0.979 和 0.983，土壤有效 Cd 含量分别降低 56.1%和 58.1%。生物质炭与钙镁磷肥处理通过提高土壤 CEC 及有机质含量为土壤有效 Cd 提供稳定载体，降低 Cd 生物有效性，从而减少了三七植株 Cd 含量。有机肥处理土壤有效 Cd 含量及三七 Cd 的吸收较对照均无显著差异。三七须根 Cd 富集系数在 2.84~4.64 范围，主根、剪口、茎、叶等部位 Cd 的富集系数和转移系数均小于 1，三七须根具有富集土壤 Cd 的效应，且 Cd 在三七中的转移能力较差，易集中于三七地下部，施用生物质炭和钙镁磷肥均可降低土壤镉的生物有效性，确保三七药用质量安全。

【不推荐原因：篇幅过长，多数语句是在重复结果，没有突出主要结论】

7 参考文献

应择最新、最主要的文献列入，文献在正文中应有出处（以“[序号]”的形式标注在文内引用处），且按在文内出现的顺序编号。中文宋体、英文 Times New Roman 体，小五号。

7.1 格式要求

- (1) 待发表文章和非公开出版的文献请勿引用。
- (2) 中文文献需要在其后列出相对应的英文形式（没有标准英文形式的请自行翻译）。
- (3) 文献作者超过 3 个时，仅列出前 3 位作者，后加“等”或“et al”。

示例 15

- [1] 孙 超, 陈振楼, 毕春娟, 等.
- [2] Mehler W T, Li H, Lydy M J, et al.

(4) 中文文献对应的英文形式中，作者姓名为全拼，其中姓全部大写，名首字母大写，名之间用“-”连接。

示例 16

[1] 关莹, 臧淑英, 肖海丰.

GUAN Ying, ZANG Shu-ying, XIAO Hai-feng.

(5) 英文文献(包括国内作者发表的英文文献)作者的姓首字母大写, 名简写, 仅保留大写首字母。

示例 17

[1] Malik N, Biswas A K, Qureshi T A, et al.

[2] Guan Y, Zang S Y, Xiao H F. (关莹, 臧淑英, 肖海丰发表的英文文献)

(6) 英文题名首字母大写, 其余小写(专有名词除外)。

示例 18

Polycyclic aromatic hydrocarbons (PAHs) in soil: A review

(7) 英文刊名(包括中文期刊对应的英文刊名)斜体, 实词首字母大写。

示例 19

Environmental Science & Technology

Journal of Agro-Environment Science (《农业环境科学学报》的英文刊名)

(8) 年、卷、期务必写全。

(9) 标点符号均为英文格式。

7.2 文后参考文献著录规则与示例

专著: [序号] 主要责任者. 题名: 其他题名信息[M]. 其他责任者. 版本项(第1版不写). 出版地: 出版者, 出版年: 起止页码.

[1] 国家环境保护总局. 水和废水监测分析方法[M]. 四版. 北京: 中国环境科学出版社, 2002: 701-705.

State Environmental Protection Administration. Methods for monitoring and analysis of water and wastewater[M]. 4th Edition. Beijing: China Environmental Science Press, 2002: 701-705.

期刊: [序号] 主要责任者. 题名[J]. 刊名, 年, 卷(期): 起止页码.

[2] 周碧青, 陈成榕, 张黎明, 等. 茶树品种对亚热带茶园土壤可溶性有机氮组成的影响[J]. 农业环境科学学报, 2015, 34(6): 1158-1165.

ZHOU Bi-qing, CHEN Cheng-rong, ZHANG Li-ming, et al. Effects of tea genotype on soil soluble organic nitrogen fractions in subtropical tea plantations[J]. *Journal of Agro-Environment Science*, 2015, 34(6): 1158-1165.

[3] Ardie S, Nishiuchi S, Liu S, et al. Ectopic expression of the K⁺ channel β subunits from *Puccinellia tenuiflora*

(*KPutB₁*) and rice (*KOB₁*) alters K⁺ homeostasis of yeast and *Arabidopsis*[J]. *Molecular Biotechnology*, 2011, 48(1): 76-86.

文集: [序号] 析出文献主要责任者. 析出文献题名[M 或 C]//专著主要责任者. 专著题名: 其他题名信息. 版本项 (第 1 版不写). 出版地: 出版者, 出版年: 析出文献起止页码.

[4] Stoops G. Micromorphology as a tool in soil and regolith studies[M]//Stoops G, Marcelino V, Mees F. Interpretation of micromorphological features of soils and regoliths. Amsterdam: Elsevier, 2010: 1-10.

[5] 周启星, 孙铁珩. 污染生态学研究与发展[C]//李文华, 王如松. 生态安全与生态建设: 中国科协 2002 年学术年会论文集. 北京: 气象出版社, 2002: 188-193.

ZHOU Qi-xing, SUN Tie-heng. Progress and expectation in pollution ecology[C]//LI Wen-hua, WANG Ru-song. Ecological security and ecological construction: Proceedings of 2002 annual academic conference of China Association for Science and Technology. Beijing: China Meteorological Press, 2002: 188-193.

学位论文: [序号] 主要责任者. 论文题目[D]. 保存地: 保存单位, 年: 起止页码.

[6] 王典. 生物炭对不同土壤上油/棉作物生长及养分效率的影响[D]. 长沙: 华中农业大学, 2011.

WANG Dian. Effect of biochar on rape and cotton growth and nutrient efficiency on different soils[D]. Changsha: Huazhong Agriculture University, 2011.

标准: [序号] 主要责任者. 标准编号 标准名称[S]. 出版地: 出版者, 年.

[7] 中华人民共和国农业部. NY/T 1881.5—2010 生物质固体成型燃料试验方法第 5 部分: 灰分[S]. 北京: 中国标准出版社, 2010.

Ministry of Agriculture of PRC. NY/T 1881.5—2010 Densified biofuel-test methods Part 5: Ash content[S]. Beijing: China Standards Press, 2010.

报告: [序号] 主要责任者. 题名[R]. 所在地: 机构名, 出版年: 起止页码.

[8] 中华人民共和国农业部. 中国农业农村信息化发展报告[R]. 北京: 中华人民共和国农业部, 2010: 45-49.

Ministry of Agriculture of PRC. Report on the informatization development of agriculture and countryside in China[R]. Beijing: Ministry of Agriculture of PRC, 2010: 45-49.

专利: [序号] 专利申请者或所有者. 专利题名: 专利国别, 专利号[P]. 公告日期或公开日期.

[9] 中国科学院南京土壤研究所, 中国计量学院, 浙江理工大学. 行星轮旋转振荡装置: 中国, 201120430618[P]. 2012-07-04.

Institute of Soil Science, Chinese Academy of Sciences, China Jiliang University, Zhejiang Sci-Tech University. Planetary Rotary Shaker: China, 201120430618[P]. 2012-07-04.

电子文献: [序号] 主要责任者. 电子文献题名: 其他题名信息[EB/OL]. 出版地: 出版者, 出版年(更新或修改日期) [引用日期]. 获取和访问路径.

[10] Orodho A B. The role and importance of Napier grass in the smallholder dairy industry in Kenya[EB/OL]. [2013-09-16]. http://www.fao.org/ag/agp/agpc/doc/Newpub/napier/napier_kenya.htm.

电子数据库: [序号] 主要责任者. 数据库名: 其他题名信息[DB/OL]. [引用日期]. 获取和访问路径.

[11] 中国农业科学院植物保护研究所. 中国外来入侵植物数据库[DB/OL]. [2013-09-16]. <http://www.agripests.cn/base23.asp>.

Institute of Plant Protection, Chinese Academy of Agricultural Sciences. China invasive plants database [DB/OL]. [2013-09-16]. <http://www.agripests.cn/base23.asp>.

报纸: [序号] 主要责任者. 文献题名[N]. 报纸名, 出版日期(版次).

[12] 钟文峰, 陈新光. 园区化布局, 产业化经营: 广饶食用菌产业步入“工厂化”[N]. 农民日报, 2014-03-04 (8版).

ZHONG Wen-feng, CHEN Xin-guang. Park layout, industrial management: The edible fungi industry realizes industrialization in Guangrao[N]. Farmers' Daily, 2014-03-04 (8th Edition).